

Upptäckten av kvarkar (1968)

Laboratorium = SLAC (Stanford, Kalifornien)

Accelerator = SLAC ($T_S = 4-6 \text{ GeV}$)

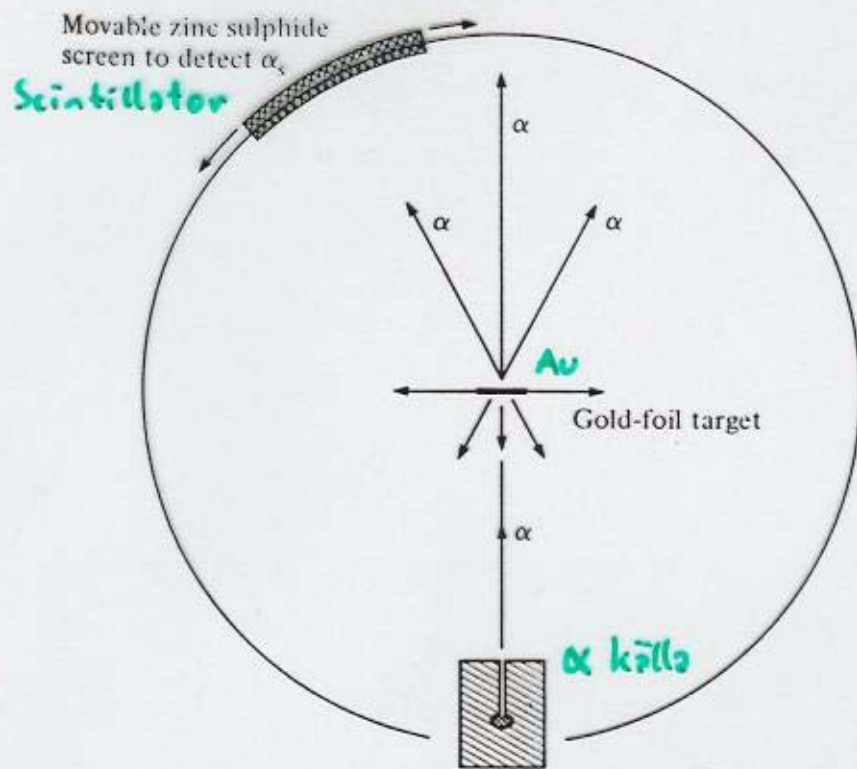
Experiment = SLAC-MIT (e^-H_2 fixed target)

Process = $e^- + p \rightarrow e^- + X$

Nobelpristagare = Friedman, Kendall och Taylor

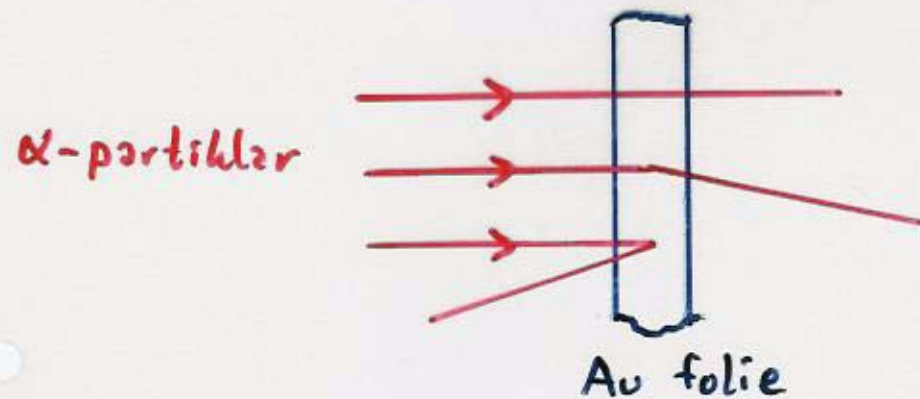
Rutherford's scattering experiment (1911)

Fig. 1.5. The Geiger and Marsden experiment.
According to Rutherford's scattering formula, the number of α particles scattered through a given angle decreases as the angle increases away from the forward direction.

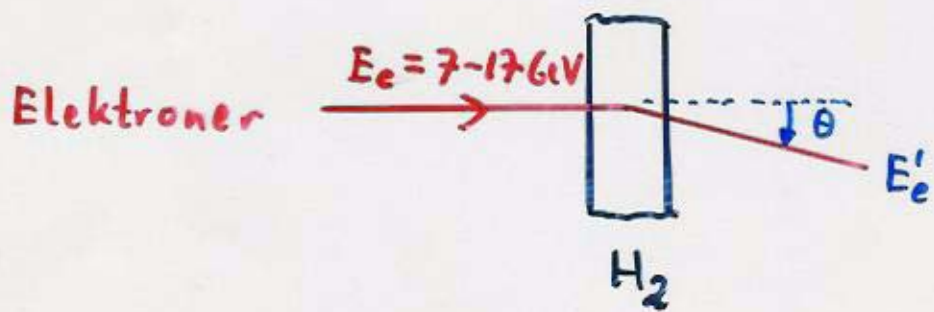


SLAC-MIT experimentet

Rutherford's upptäckt av atomkärnor:

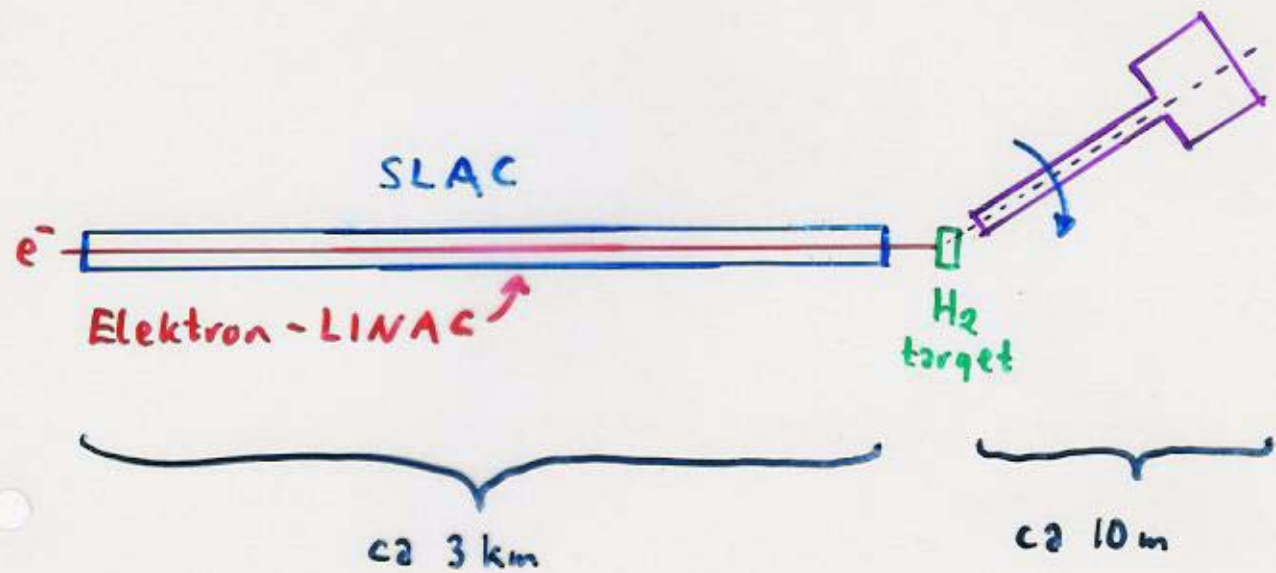


SLAC-MIT experimentets upptäckt av kvarkar:



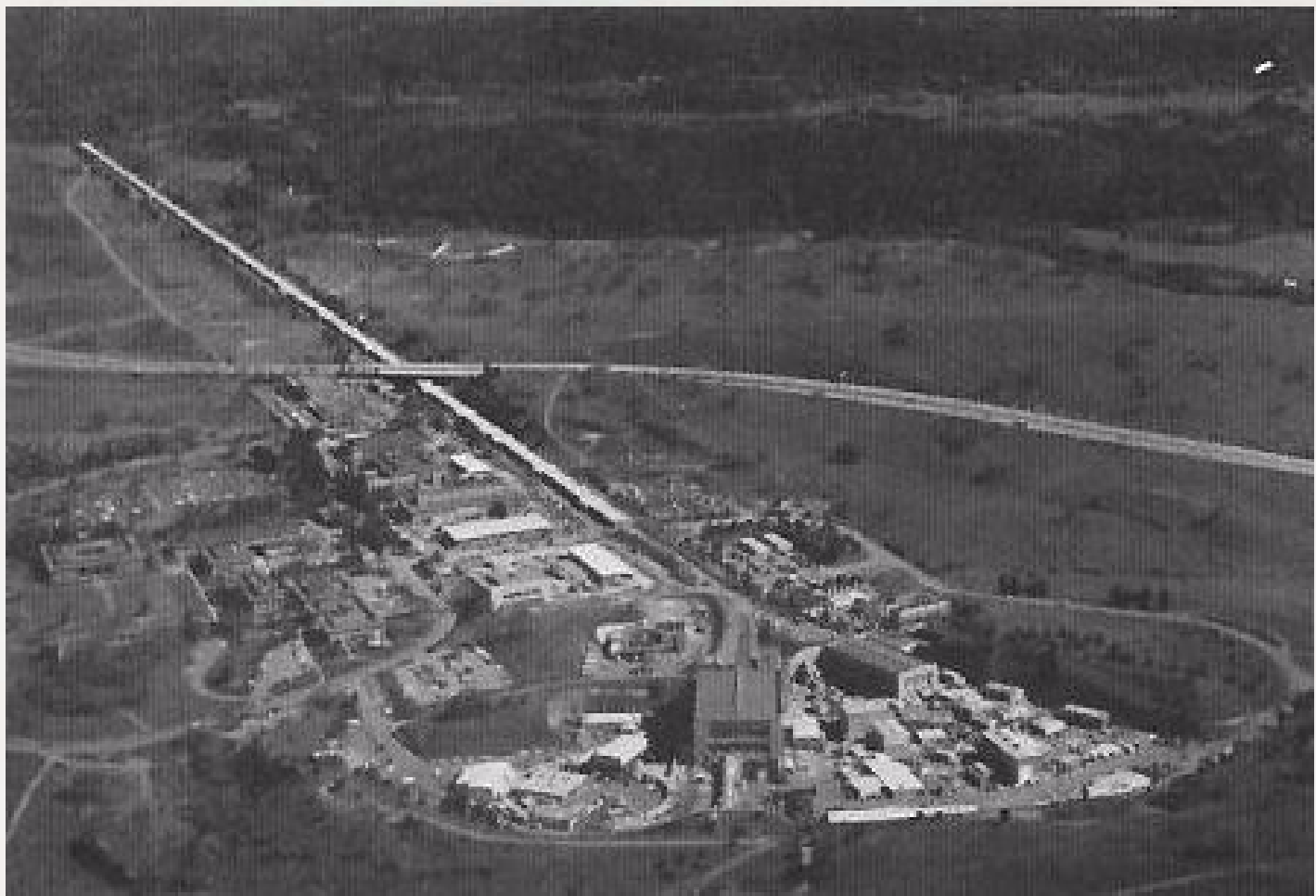
Från mätningen av den spridda elektronens energi E'_e och spridningsvinkel θ kunde man dra slutsatsen att protonen är uppbyggd av kvarkar.

Elektron spektrometer



S L A C

Stanford Linear Accelerator Center



SLAC-MIT experimentet

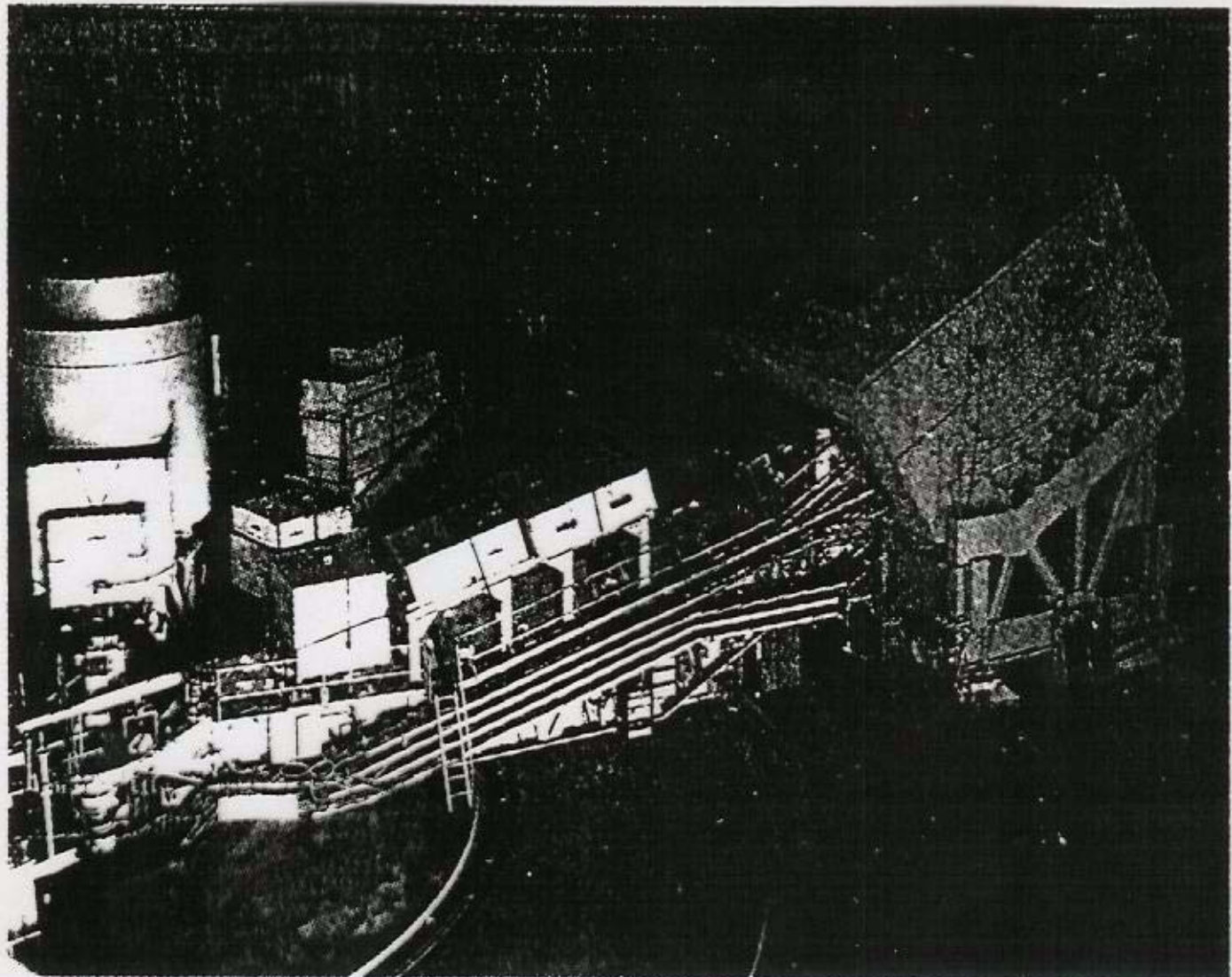
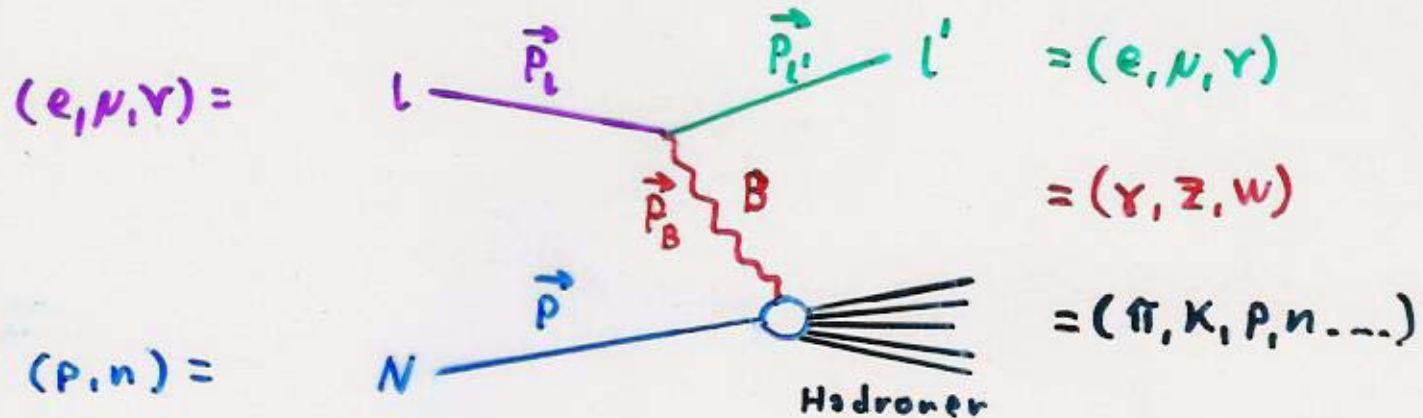


Fig. 2. Elektronerna från acceleratorn sprids i ett strålmål av flytande vate eller deuterium (på den cirkulära plattformen till vänster) och energin mäts i en av tre spektrometrar bestående av avlankningsmagneter och detektorer. Dessa spektrometerarmar, varav den på bilden är drygt 20 m lång, kan vridas på räls kring strålmalet för att tacka olika vinkelområden.

Lepton - Hadron kollisioner

Kinematik



$$s \equiv (\vec{p}_l + \vec{p}_N)^2$$

Massan av leptonen och hadronen i kvadrat.

$$w^2 \equiv (\vec{p}_B + \vec{p}_H)^2 \leq s$$

Massan av bosonen och hadronen i kvadrat.

$$Q^2 \equiv -\vec{p}_B \cdot \vec{p}_B \leq s$$

Massan av bosonen i kvadrat.

$$\gamma \equiv \frac{1}{m_p} \vec{p} \cdot \vec{p}_B \leq \frac{1}{2m_p} s$$

Den överförda energin i protonens vilosystem ($\gamma = E_l - E_{l'}$).

$$x_{bj} \equiv -\frac{1}{2} \frac{\vec{p}_B \cdot \vec{p}_B}{\vec{p} \cdot \vec{p}_B} \leq 1$$

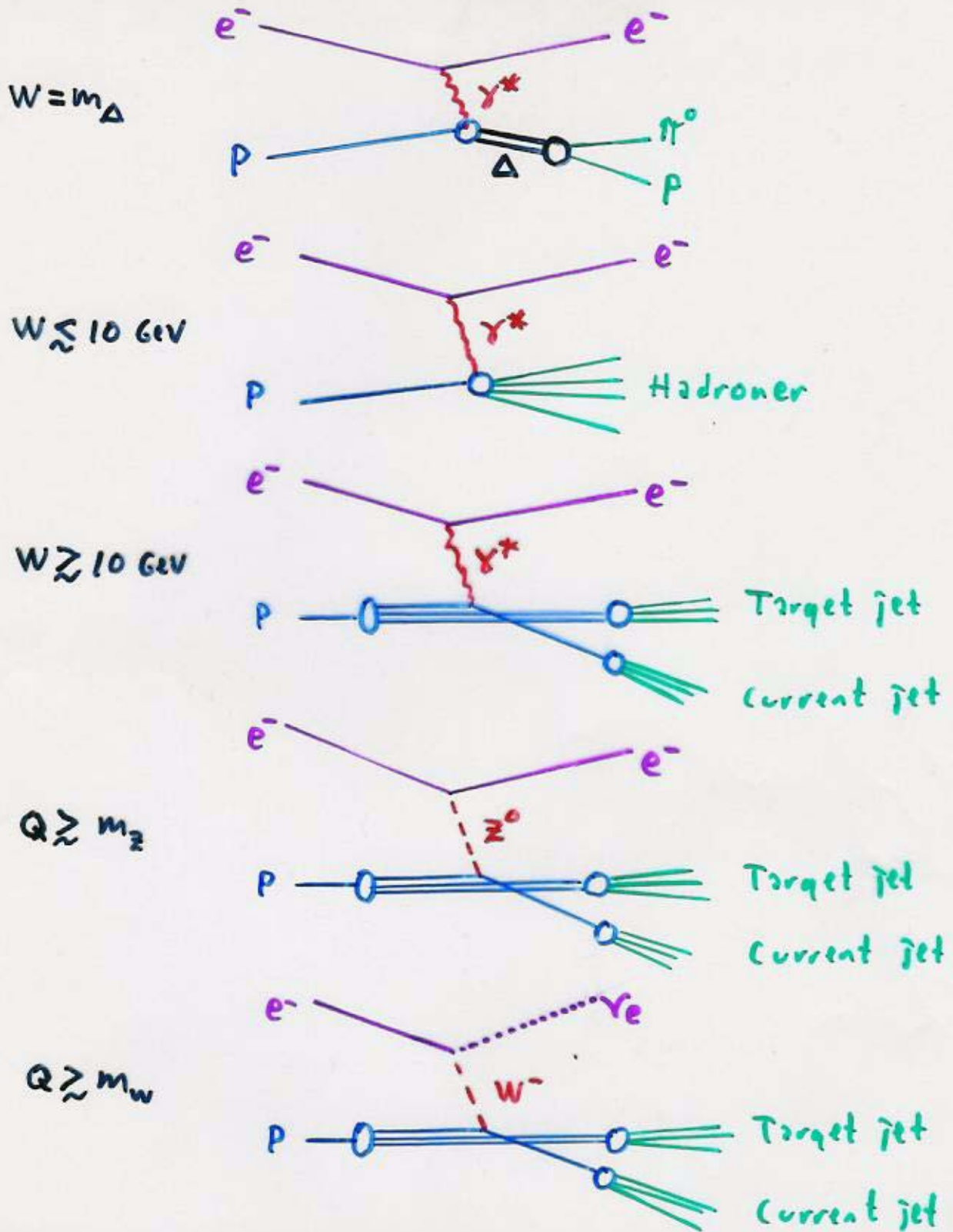
I parton modellen ger x andelen av protonens rörelsemängd som partonen har.

$$\gamma_{bj} \equiv \frac{\vec{p} \cdot \vec{p}_H}{\vec{p} \cdot \vec{p}_l} \leq 1$$

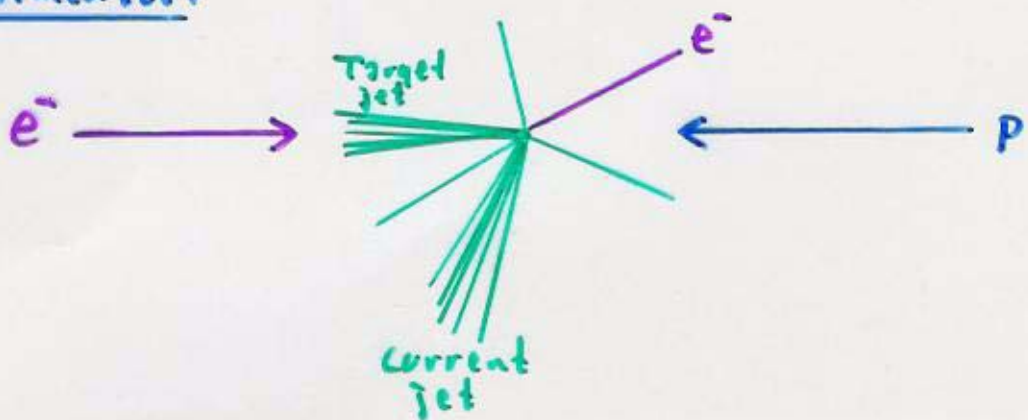
γ är den relativt energiöverföringen i hadronens vilosystem

$$\gamma = \frac{E_l - E_{l'}}{E_l} = \frac{\gamma}{E_l}$$

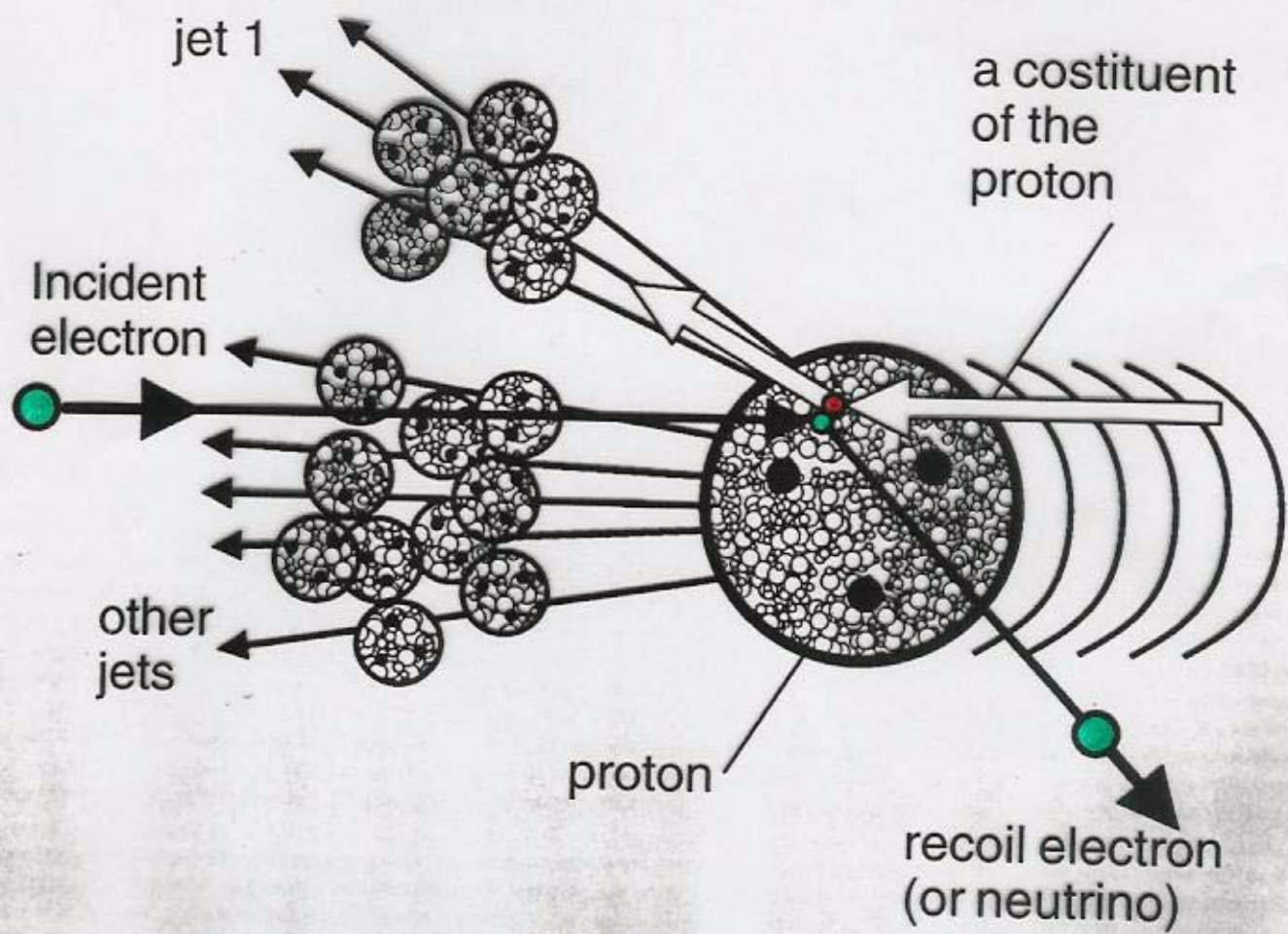
Elektron - Proton kollisioner



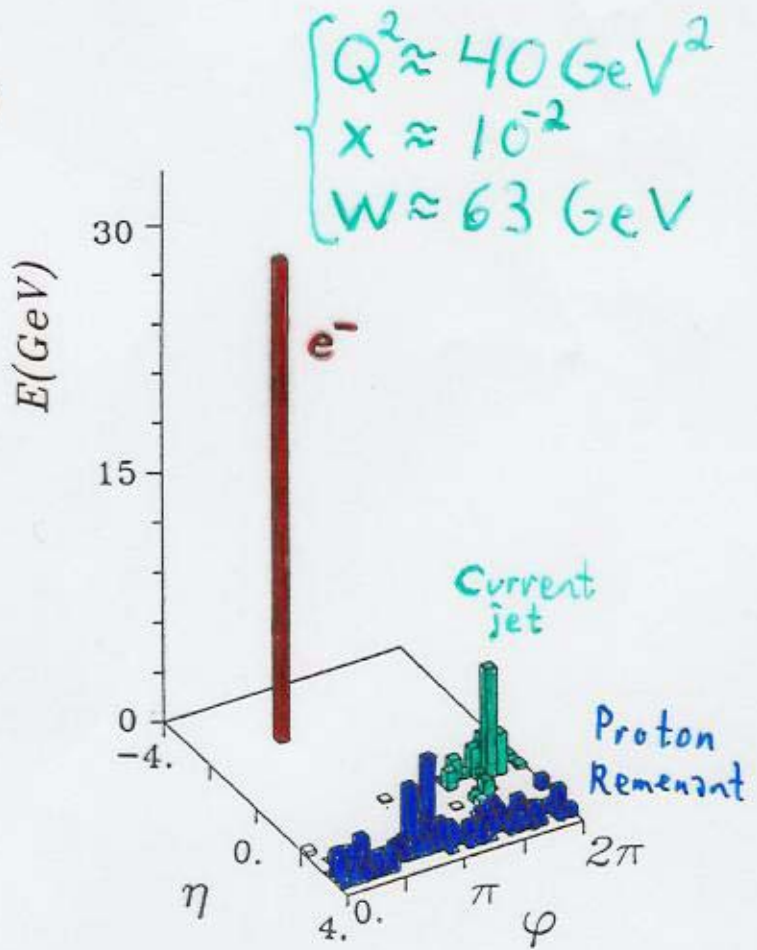
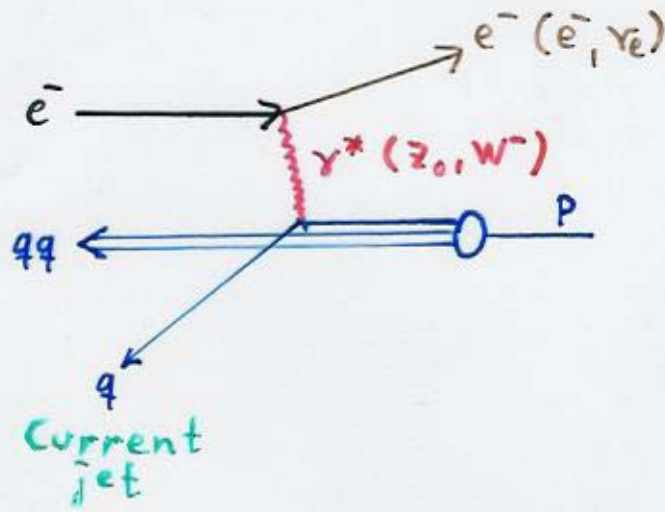
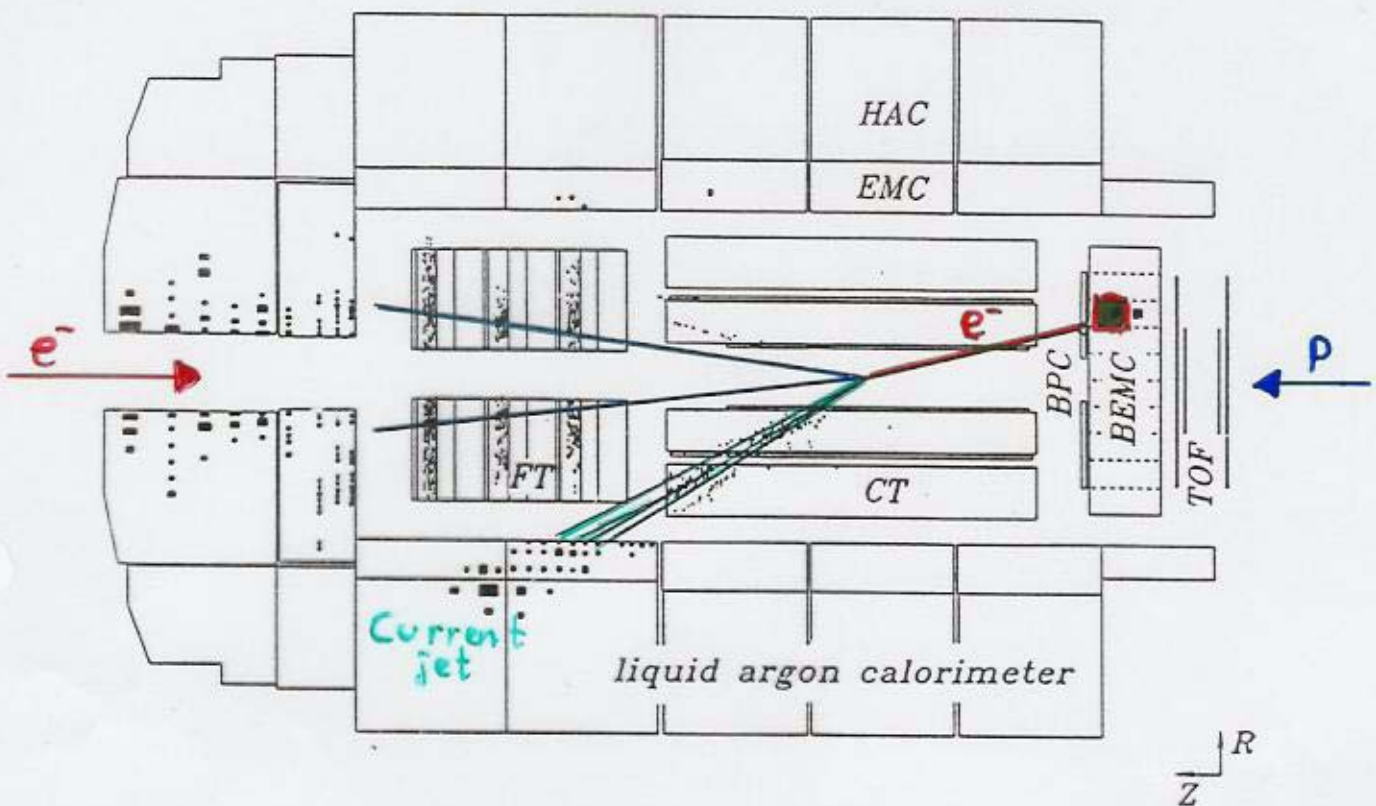
I experimentet:



Elektron - Proton kollision



DIS Event



Elastisk spridning

Rutherford's spridningsformel för spridning av partiklar med spinn = 0 mot en punktladdning är:

$$\sigma_R = \frac{\alpha^2}{4E^2 \sin^4 \frac{\theta}{2}}$$

där $\begin{cases} \alpha: \text{finstrukturkonstanten} \\ E: \text{partikelnas energi} \\ \theta: \text{spridningsvinkeln} \end{cases}$

Mott's spridningsformel för spridning av partiklar med spinn = 1/2 mot en punktladdning är:

$$\sigma_M = \cos^2 \frac{\theta}{2} \cdot \sigma_R$$

Inelastisk spridning

För inelastisk ep eller np spridning gäller

$$\frac{\partial^2 \sigma}{\partial Q^2 \partial Y} = \sigma_M \left[\frac{2}{m_p} \tan^2 \frac{\theta}{2} F_1(x, Q^2) + \frac{1}{Y} F_2(x, Q^2) \right]$$

där $\begin{cases} m_p = \text{protonens massa} \\ Q^2 = \text{den virtuella fotonenens massa} \\ Y = E - E' \text{ är skillnaden i elektron energi, före och efter spridningen.} \\ x = \frac{1}{2m_p} \cdot \frac{Q^2}{Y} \end{cases}$

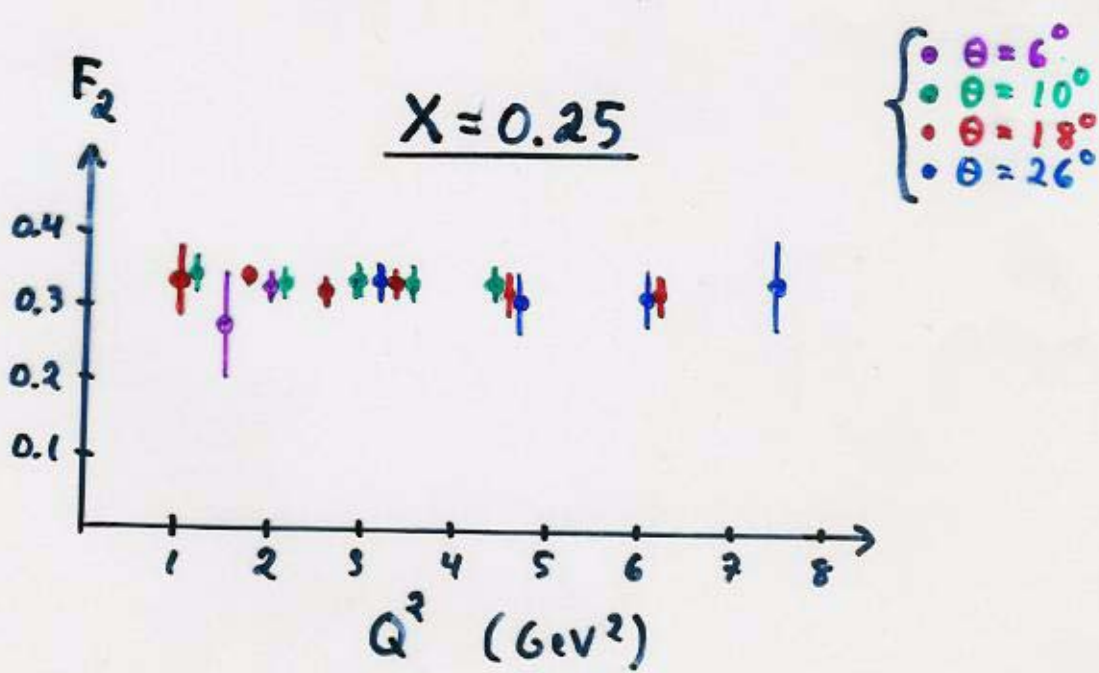
$\begin{cases} F_1(x, Q^2) \\ F_2(x, Q^2) \end{cases}$ Dimensionslösa strukturfunktioner som måste bestämmas experimentellt.

"Bjorken scaling" eller "scale invariance"

En teoretiker som heter Bjorken visade 1967 att om protonen var uppbyggd av mindre beständsdelen (partoner) så ska F_1 och F_2 ej bero av Q^2 dvs

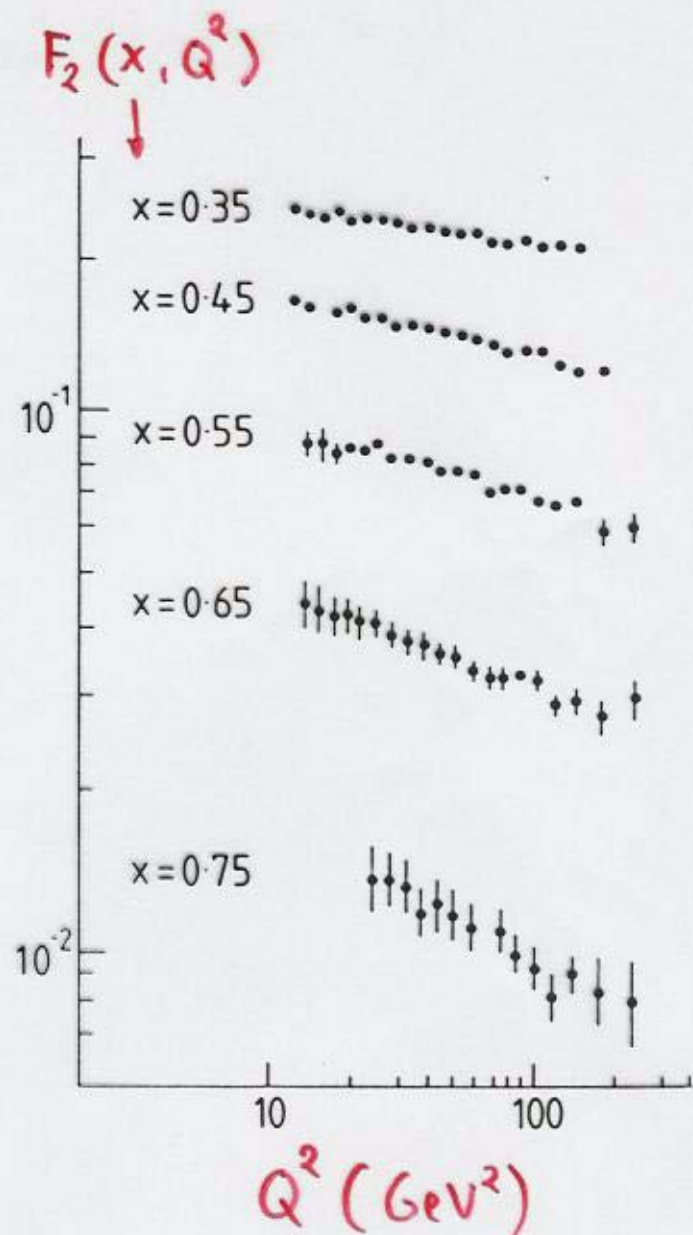
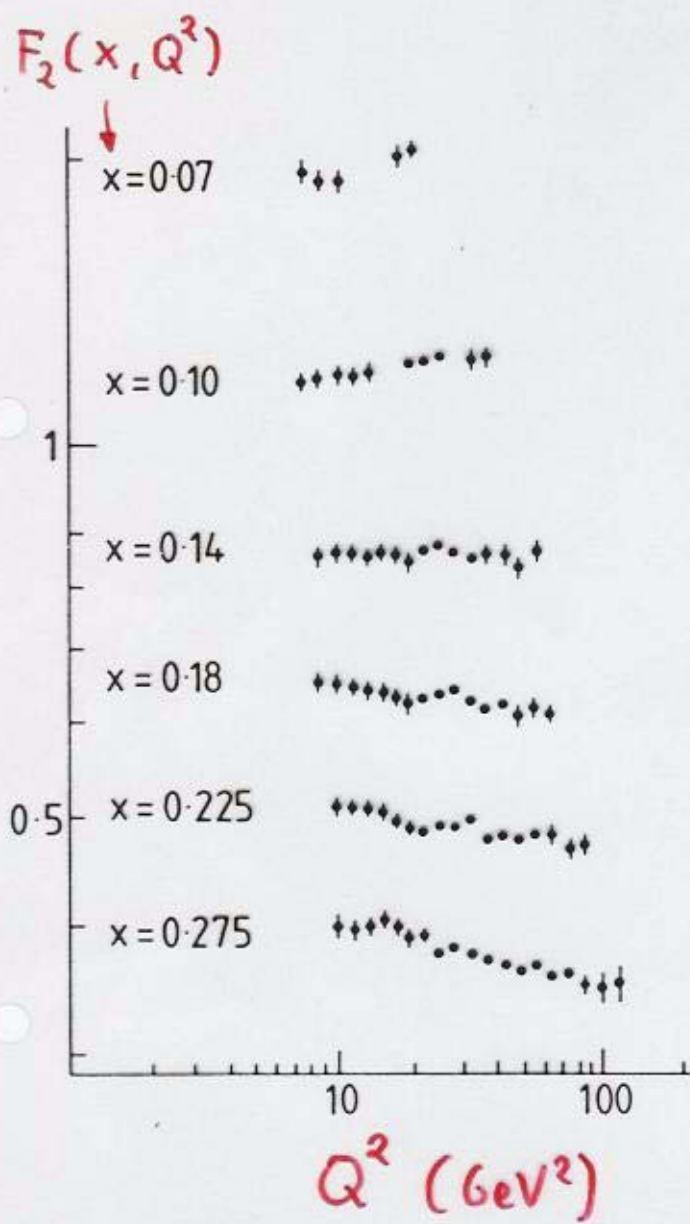
$$\begin{cases} F_1(x, Q^2) = F_1(x) \\ F_2(x, Q^2) = F_2(x) \end{cases} \quad \text{"Bjorken scaling"}$$

SLAC-MIT experimentet



SLUTSATS: F_2 beror ej av Q^2 när $x = \text{konstant}$
 \Rightarrow Protonen innehåller partoner = kvarkar!

Strukturfunktionen $F_2(x, Q^2)$

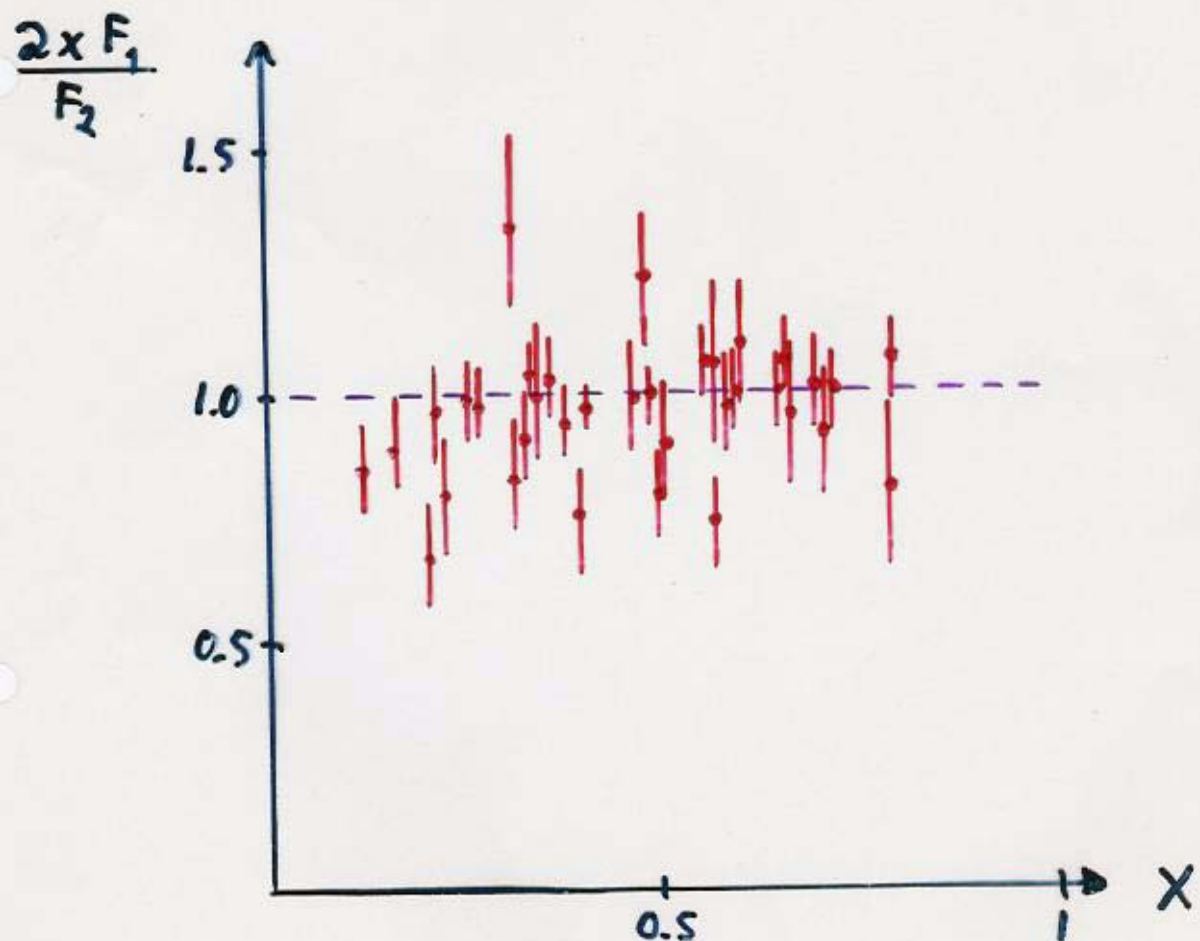


Partonernas spinn

Om protonen är uppbyggd av partoner så beror $F_1(x, Q^2)$ på partonens spinn:

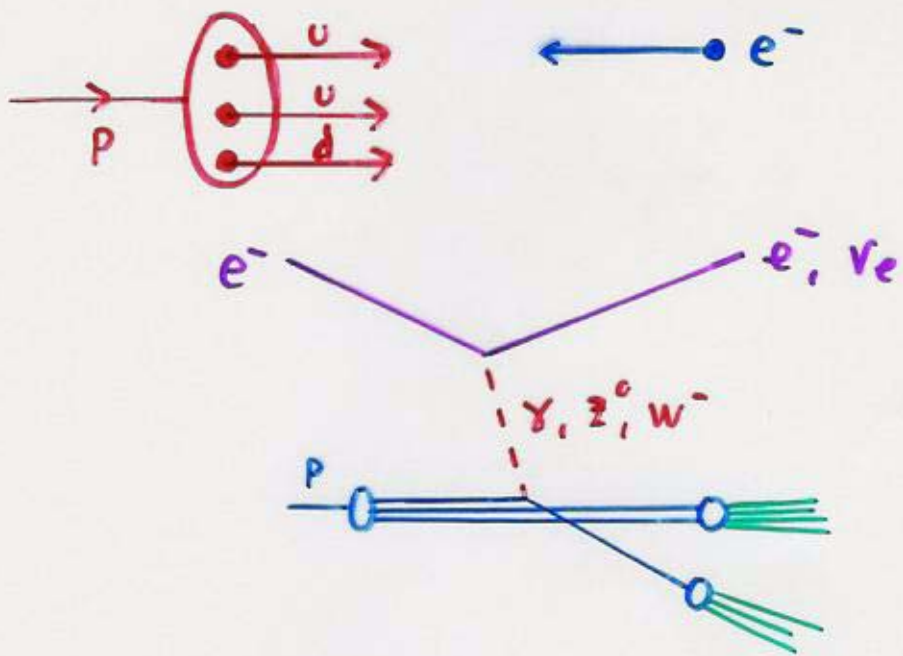
$$\text{Partonens spinn} = 0 \Rightarrow F_1(x, Q^2) = 0$$

$$\text{Partonens spinn} = \frac{1}{2} \Rightarrow F_1(x, Q^2) = \frac{1}{2x} F_2(x, Q^2)$$

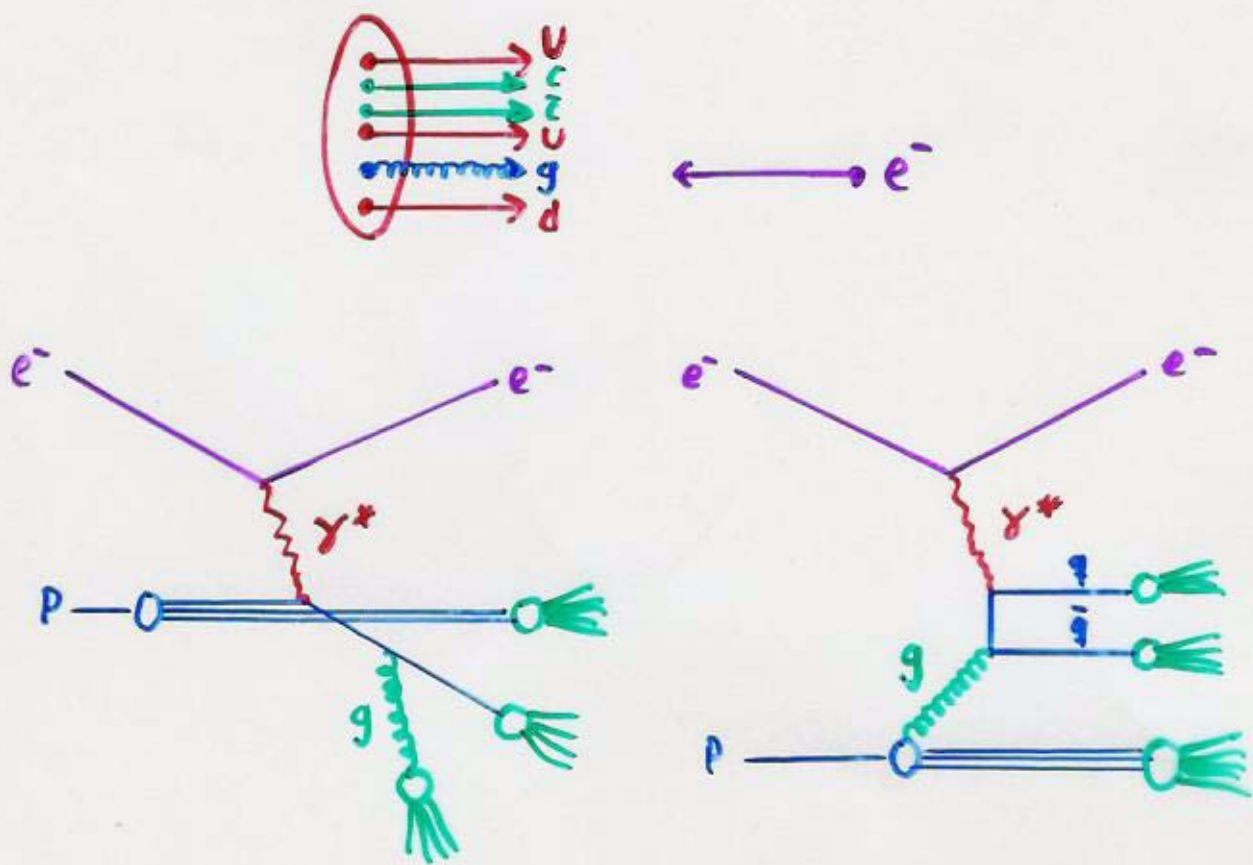


Slutsats: Partonerna har $\text{spinn} = \frac{1}{2}$ och
 $F_1 = \frac{1}{2x} F_2$ (Collan-Gross förhållande)

Partonmodellen (ren kvarkmodell)



QCD modellen (valenskvarkar, sjökvarkar, gluoner)



Parton fördelningar

Strukturfunktionen $F_2(x, Q^2)$ kan skrivas som en summa av partonfördelningar $q_f(x)$. Dessa fördelningar beskriver hur stor andel (x) av protonens rörelsemängd som partonen bär p_T^2 :

$$F_2(x) = x \sum_f e_f^2 q_f(x) + x \sum_{\bar{f}} e_{\bar{f}}^2 \bar{q}_{\bar{f}}(x)$$

↓ kvarken
läaddningen ↓ Parton
fördelningen ↓ $\bar{u}, \bar{d}, \bar{s}, \bar{c}, \bar{t}, \bar{b}$

u, d, s, c, t, b

$$\begin{aligned}
 F_2(x) &= x \left[\left(\frac{2}{3}\right)^2 [u(x) + c(x) + t(x)] + \left(-\frac{1}{3}\right)^2 [d(x) + s(x) + b(x)] \right] + \\
 &+ x \left[\left(-\frac{2}{3}\right)^2 [\bar{u}(x) + \bar{c}(x) + \bar{t}(x)] + \left(\frac{1}{3}\right)^2 [\bar{d}(x) + \bar{s}(x) + \bar{b}(x)] \right]
 \end{aligned}$$

Experiment ger
följande:

